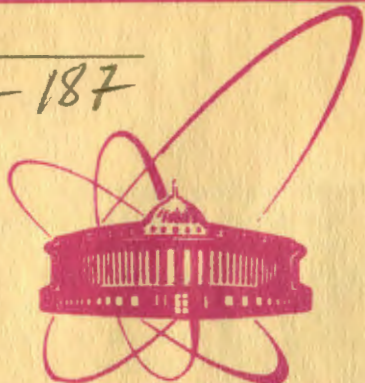


A-187



ОБЪЕДИНЕННЫЙ  
ИНСТИТУТ  
ЯДЕРНЫХ  
ИССЛЕДОВАНИЙ  
ДУБНА

3452/2-81

13/III-81

P1-81-258

А.Абдивалиев, А.Н.Зубарев, Н.А.Коржев,  
А.Г.Кочуров, А.В.Никитин, В.Н.Печенов,  
Н.А.Смирнов, В.П.Соколов, М.И.Соловьев,  
Ю.А.Троян

ПОИСК РАСПАДОВ СВЕРХПЛОТНЫХ ЯДЕР  
В ДВУХМЕТРОВОЙ ПРОПАНОВОЙ КАМЕРЕ

*Направлено в ЖЭТФ*

1981

В настоящей работе произведен поиск необычных распадов, которые могли бы происходить в результате образования сверхплотных ядер. С этой целью пропановая двухметровая камера ЛВЭ ОИЯИ облучалась потоками протонов,  $\alpha$ -частиц и ядер углерода. В камеру помещались мишени из  $^{78}\text{Ta}^{181}$ ,  $^{82}\text{Pb}^{208}$ ,  $^{28}\text{Ni}^{58}$ ,  $^{29}\text{Cu}^{63}$  с длинами 0,2; 1 и 0,6; 0,6; 0,6 см соответственно.

Суть метода изложена в нашей первой работе<sup>1/1</sup>. Она заключается в том, что первичные частицы сбрасываются в камеру в то время, когда давление в ней настолько велико, что условий для образования пузырьков еще нет. Частицы активируют мишени и рабочую жидкость камеры. Через некоторое время порядка нескольких миллисекунд, которое мы называем "мертвым временем", когда давление в камере упадет настолько, что есть условия для формирования хорошо видимого трека, начинается регистрация распадов; интервал времени для наблюдения распадов определяется от конца "мертвого времени" до вспышки света (практически он несколько меньше, т.к. надо дать выдержку на рост пузырьков до необходимого размера).

В этих условиях в камеру можно сбрасывать большие потоки частиц /до  $10^6 \div 10^7$  частиц в цикл в данных условиях эксперимента/. Это дает возможность исследовать процессы, идущие с сечениями порядка  $10^{-33} \div 10^{-34}$  см<sup>2</sup>. Единственным физическим фоном является фон от космических лучей, в которых могут образовываться энергичные  $u$ -кванты, дающие в мишениях и в пропане камеры в результате комптоновского рассеяния и процесса образования пар электроны и позитроны больших энергий. Однако этот фон легко оценивается в камере, хотя и требует большой просмотровой работы.

В табл. 1 приведены характеристики выполненных экспериментов.

Мишень  $^{6}\text{C}^{12}$ -углерод, содержащийся в пропане на длине 52 см.

Если в облучениях протонами с импульсом 1,9 ГэВ/с,  $\alpha$ -частицами и ядрами углерода поток частиц на камеру в одном цикле был порядка  $10^2 \div 10^3$  част./цикл и был надежно измерен сцинтилляционными счетчиками, расположенными перед камерой, то в облучениях протонами с импульсами 3,36 и 9,86 потоки частиц были порядка  $10^5$ , и при длительности сброса  $\approx 1$  мс возникают просчеты в электронной аппаратуре. Поэтому оценка потока в двух последних случаях производилась по количеству наблюдений

Таблица 1

Сорт ядра-снаряда	$\rho$	$\rho$	$\rho$	$\alpha$	${}^6C^{12}$
Импульс ядра-снаряда, ГэВ/с/нуклон	1,90	3,36	9,86	0,95	3,36
Сорт ядра-мишени	${}^{28}Ni^{58}$ ${}^{82}Pb^{208}$ ${}^{28}Cu^{63}$ ${}^6C^{12}$	${}^{82}Pb^{208}$ ${}^{73}Ta^{181}$ ${}^{82}Pb^{208}$ ${}^{28}Cu^{63}$ ${}^6C^{12}$	${}^{28}Ni^{58}$ ${}^{82}Pb^{208}$ ${}^{28}Cu^{63}$ ${}^6C^{12}$		
Суммарный поток частиц	$6,6 \cdot 10^6$	$1,3 \cdot 10^6$	$2,4 \cdot 10^8$	$6,9 \cdot 10^6$	$1,1 \cdot 10^6$
число кадров	4370	64000	5200	4350	2500

ных  $e^+$  от распадов радиоактивного азота  ${}^7N^{12}$ . Сечение образования этого ядра в реакции  $p + {}^6C^{12} \rightarrow {}^7N^{12}$  оценивалось с использованием данных работы <sup>18</sup>, где оно определено при двух значениях первичной энергии. Т.к., по-видимому, указанная реакция происходит через  $\pi$ -мезонный обмен, то ее сечение должно падать с энергией обратно пропорционально падающему импульсу в некоторой степени. Подгонка к данным работы <sup>12</sup> дает для сечения реакции  $p + {}^6C^{12} \rightarrow {}^7N^{12}$  значение  $\sigma(P) = 0,086$ . ( $P$ )<sup>-0,87</sup> мб, где  $P$  - импульс в ГэВ/с.

На рис. 1 представлены в относительных единицах спектры распадных позитронов в камере в области пучка первичных протонов для разных импульсов падающих частиц. Видно подобие спектров. Пик при энергии позитронов от 8 до 9 МэВ обязан процессу распада  ${}^7N^{12}$  /максимальная энергия  $e^+$  в нем равна 16,4 МэВ/. Однако в область энергий позитронов  $\geq 8$  МэВ дают вклад позитронные распады других ядер, например,  ${}^5B^8$  /максимальная энергия распада 14 МэВ/. Если принять, что вклад от распадов всех других ядер, кроме  ${}^7N^{12}$ , в область  $> 8$  МэВ составляет половину всех наблюденных позитронов, то поток первичных протонов, определенный по количеству наблюденных позитронов от  ${}^7N^{12}$  с использованием сечения образования  ${}^7N^{12}$  совпадает с потоком, измеренным счетчиками для импульса падающих протонов 1,9 ГэВ/с. Тогда, исходя из подобия спектров позитронов для протонов с импульсами 1,9; 3,36 и 9,86 ГэВ/с, можно оценить потоки протонов в экспериментах при  $P_p = 3,36$  и 9,86 ГэВ/с, принимая, что в спектрах позитронов с  $E_{e^+} \geq 8$  МэВ половину случаев дает распад  ${}^7N^{12}$ . Значения потоков, определенные таким образом для первичных протонов с импульсами 3,36 и 9,86 ГэВ/с, приведены в табл. 1.

Во всех облучениях не найдено ни одного случая, который бы можно было однозначно интерпретировать как необычный

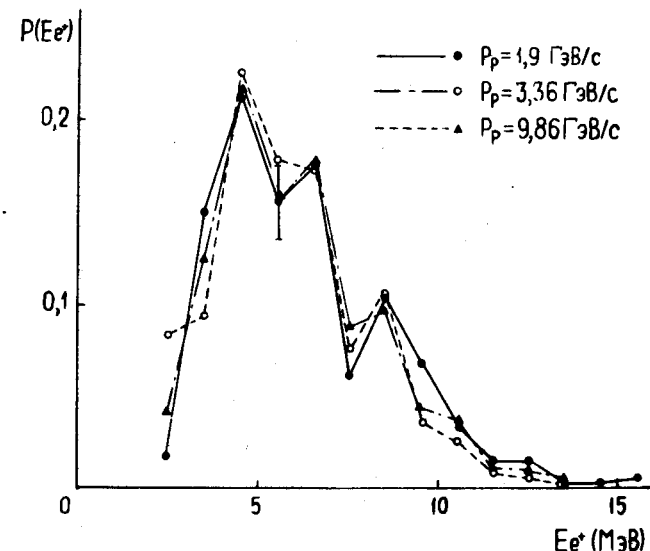


Рис. 1. Спектры позитронов в относительных единицах в пропановой камере для протонных облучений ●-  $P_p = 1,9$  ГэВ/с, ▲-  $P_p = 3,38$  ГэВ/с, ○-  $P_p = 9,86$  ГэВ/с.

распад /E распада  $> 16,4$  МэВ/. Таким образом, мы определяем только верхние границы образования сверхплотного ядра с последующим его распадом.

Точности вычисления сечений определяются временной шириной пучка  $\approx 1$  мс / в случаях точного измерения потока и меняются обратно пропорционально времени жизни сверхплотного ядра. Для времени жизни 2 мс точность составляет  $\sim 50\%$ . Для экспериментов, где поток определен по числу распадов  ${}^7N^{12}$ , точность определяется еще и статистикой наблюденных распадов и надежностью экстраполяции сечения реакции  $p + {}^6C^{12} \rightarrow {}^7N^{12}$ , которую трудно оценить из-за скучности имеющихся данных в литературе.

В табл. 2-6 даны значения верхних границ сечений  $\sigma_{\text{верхн.}}$  образования сверхплотных ядер для некоторых времен их жизни  $t_c$  в различных процессах при разных энергиях первичных частиц. При вычислении сечений учитывалось ослабление пучка частиц при прохождении через камеру и мишени с использованием значений сечений неупругих взаимодействий протонов,  $\alpha$ -частиц и ядер углерода при соответствующих энергиях <sup>18</sup>. Вероятности  $W_c$  наблюдения распадов рассчитываются, как и в <sup>11</sup>. "Мертвые времена" в экспериментах менялись от 9,7 до 17 мс.

Таблица 2

$P_p = 1,90 \text{ ГэВ/с}$					
$T_c, \text{ мс}$	$W_c$	$\sigma_{\text{верхн}}, 10^{-30} \text{ см}^2$ (на ядро C)	$\sigma_{\text{верхн}}, 10^{-29} \text{ см}^2$ (на ядро Ni)	$\sigma_{\text{верхн}}, 10^{-29} \text{ см}^2$ (на ядро Cu)	$\sigma_{\text{верхн}}, 10^{-28} \text{ см}^2$ (на ядро Pb)
2	$2,5 \cdot 10^{-3}$	80,5	109,0	175,0	391,0
5	$8,6 \cdot 10^{-2}$	2,3	3,1	5,0	11,2
10	$2,3 \cdot 10^{-1}$	0,9	1,2	1,9	4,1
50	$2 \cdot 10^{-1}$	1,0	1,3	2,1	4,8
100	$1,2 \cdot 10^{-1}$	1,6	2,2	3,5	7,8
1000	$1,5 \cdot 10^{-2}$	13,3	18,0	29,0	64,6

Таблица 3

$P_p = 3,36 \text{ ГэВ/с}$			
$T_c, \text{ мс}$	$W_c$	$\sigma_{\text{верхн}}, 10^{-33} \text{ см}^2$ (на ядро C)	$\sigma_{\text{верхн}}, 10^{-31} \text{ см}^2$ (на ядро Pb)
2	$1,5 \cdot 10^{-3}$	694,0	201,0
5	$6,9 \cdot 10^{-2}$	16,0	4,4
10	$2 \cdot 10^{-1}$	5,3	1,5
50	$1,8 \cdot 10^{-1}$	5,9	1,7
100	$1,1 \cdot 10^{-1}$	9,7	2,8
1000	$1,3 \cdot 10^{-2}$	82,8	24,0

Таблица 4

$P_p = 9,86 \text{ ГэВ/с}$			
$T_c, \text{ мс}$	$W_c$	$\sigma_{\text{верхн}}, 10^{-32} \text{ см}^2$ (на ядро C)	$\sigma_{\text{верхн}}, 10^{-30} \text{ см}^2$ (на ядро Ta)
2	$2,0 \cdot 10^{-4}$	27240	2310,0
5	$3,1 \cdot 10^{-2}$	17,6	14,9
10	$1,3 \cdot 10^{-1}$	4,2	3,6
50	$1,5 \cdot 10^{-1}$	3,6	3,0
100	$9,5 \cdot 10^{-2}$	5,7	4,8
1000	$1,2 \cdot 10^{-2}$	46,0	39,2

Таблица 5

$P_{\alpha} = 0,95 \text{ ГэВ/с/нуклон}$					
$T_c, \text{ мс}$	$W_c$	$\sigma_{\text{верхн}}, 10^{-30} \text{ см}^2$ (на ядро C)	$\sigma_{\text{верхн}}, 10^{-29} \text{ см}^2$ (на ядро Ni)	$\sigma_{\text{верхн}}, 10^{-29} \text{ см}^2$ (на ядро Pb)	$\sigma_{\text{верхн}}, 10^{-28} \text{ см}^2$ (на ядро Cu)
2	$2,5 \cdot 10^{-3}$	138,0	107,0	565,0	245,0
5	$8,6 \cdot 10^{-2}$	4,0	3,1	16,2	9,6
10	$2,3 \cdot 10^{-1}$	1,5	1,1	6,0	3,5
50	$2,0 \cdot 10^{-1}$	1,7	1,3	6,9	4,0
100	$1,2 \cdot 10^{-1}$	2,8	2,1	11,3	6,7
1000	$1,5 \cdot 10^{-2}$	23,0	17,9	95,0	56,1

Таблица 6

$P_c = 3,36 \text{ ГэВ/с/нуклон}$					
$T_c, \text{ мс}$	$W_c$	$\sigma_{\text{верхн}}, 10^{-29} \text{ см}^2$ (на ядро Ni)	$\sigma_{\text{верхн}}, 10^{-28} \text{ см}^2$ (на ядро Pb)	$\sigma_{\text{верхн}}, 10^{-28} \text{ см}^2$ (на ядро Cu)	$\sigma_{\text{верхн}}, 10^{-27} \text{ см}^2$ (на ядро C)
2	$7,5 \cdot 10^{-3}$	219,0	154,0	109,0	63,9
5	$1,0 \cdot 10^{-1}$	15,9	11,2	7,9	4,7
10	$1,8 \cdot 10^{-1}$	9,3	6,5	4,6	2,7
50	$9,8 \cdot 10^{-2}$	16,8	11,8	8,4	4,9
100	$5,5 \cdot 10^{-2}$	29,6	20,8	14,7	8,7
1000	$6,2 \cdot 10^{-3}$	264,0	185,0	131,0	77,0

Авторы благодарят Л.Ф.Мельникову и других лаборантов за просмотр пленки и измерение энергий позитронов, а также всех сотрудников ЛВЭ ОИЯИ, обеспечивших набор материала в данных экспериментах.

#### ЛИТЕРАТУРА

- Абдивалиев А. и др. ЖЭТФ, 1979, вып. 1 /7/, с. 20.
- Lindstrom P.J. et al. Preprint LBL-3650, 1975.
- Бобченко Б.М. и др. ЯФ, 1979, 30, с. 1553; Гаспарян А.П., Чеплаков А.П., Шабельский Ю.М. ОИЯИ, 1-80-853, Дубна, 1980. Ахабабян Н. и др. ОИЯИ, 1-12114, Дубна, 1979.

Рукопись поступила в издательский отдел  
16 апреля 1981 года.